

## АКУСТООПТИЧЕСКОЕ ВЗАИМОДЕЙСТВИЕ В МОНОКРИСТАЛЛАХ ПАРАТЕЛЛУРИТА НА ПРОДОЛЬНОЙ ВОЛНЕ С ПЕРЕБРОСОМ ПОЛЯРИЗАЦИИ

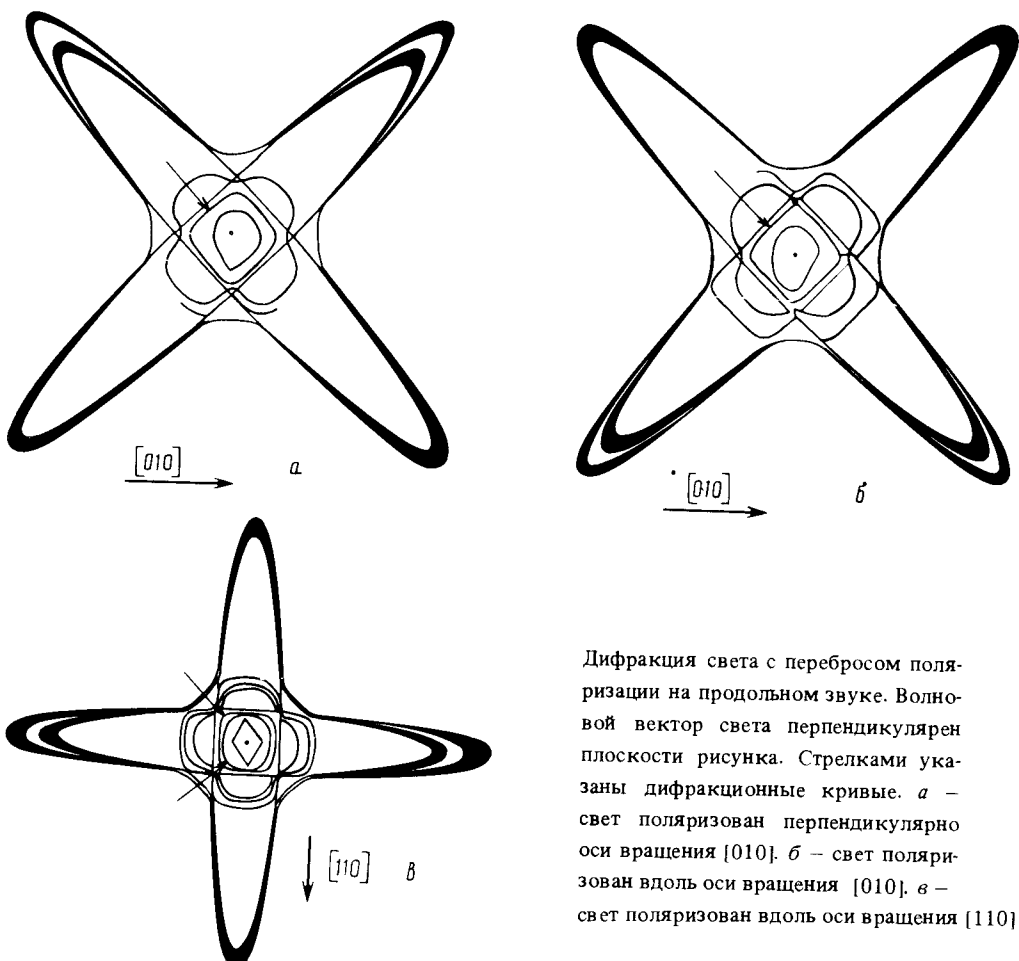
С.В.Акимов, В.М.Горбенко, В.В.Савченко

В монокристаллах парателлурита обнаружено акустооптическое взаимодействие на продольных акустических волнах с изменением поляризации световой волны обусловленное пространственной дисперсией.

С помощью методики Шеффера–Бергмана (ШБ) изучалось акустооптическое (АО) взаимодействие в монокристаллах парателлурита ( $\text{TeO}_2$ ), обладающих высокими акустооптическими характеристиками и нашедших широкое применение в устройствах управления лазерным лучом. Высокое качество выращенных авторами кристаллов позволило получить с помощью метода ШБ-картины дифракции с высоким разрешением при частотах звука около 13 МГц. Исследовался образец размерами  $10 \times 10 \times 10$  мм с ориентированными плоскостями (100) (010) (001) и образец такого же размера с ориентированными плоскостями (110) (110) (001).

В образце с ориентированными плоскостями (100) (010) (001) при падении света вдоль оси четвертого порядка наблюдалась обычная ШБ-картина АО взаимодействия для парателлурита. При вращении кристалла вокруг оси [010] появлялись дифракционные линии, которые, исходя из теории Поккельса и расчетов Нельсона и Лэksа<sup>1</sup>, не могут проявляться в кристаллах парателлурита при выбранной геометрии взаимодействия. На рисунках *a* и *б* по-

казаны ШБ-картины и указано направление оси, вдоль которой поворачивали кристалл. Направление волнового вектора света было перпендикулярно плоскостям рисунков, а поляризация падающего света на рис. *a* была направлена перпендикулярно оси вращения, а на рис. *b* параллельно оси вращения. Угол поворота составлял  $13^\circ$ . На рисунках видны дифракционные линии обусловленные АО взаимодействием на продольной волне с перебросом поляризации. Продольные волны производят деформации, которые имеют компоненты  $u_{11}$ ,  $u_{22}$ ,  $u_{33}$ . Поляризация падающего света имеет компоненты  $E_1$ ,  $E_3$  для первого случая и  $E_2$  для второго. Для того, чтобы произошло при такой геометрии АО взаимодействие на продольных волнах, необходимо наличие ненулевых компонент тензора фотоупругости;  $P_{3111}$ ,  $P_{3211}$ ,  $P_{2311}$ ,  $P_{1311}$ ,  $P_{2111}$ ,  $P_{1211}$ ,  $P_{3122}$ ,  $P_{3222}$ ,  $P_{1322}$ ,  $P_{2122}$ ,  $P_{3133}$ ,  $P_{3233}$ ,  $P_{2333}$ ,  $P_{1333}$ ,  $P_{2133}$ ,  $P_{1233}$ ,  $P_{1222}$ . В классической поккельсовской теории упругоплёнки эти компоненты равны нулю. Равны нулю они и в расчетах Нельсона и Лэкса<sup>1</sup>, показавших вклад в АО взаимодействие от вращений элементарных объемов и непрямого АО эффекта – пьезоэлектрооптического, заключающегося в последовательном действии пьезоэлектрического и электрооптического эффектов. Это связано с тем, что продольные волны не вращают элементарные объемы и в кристаллах класса 422, куда относится парателлурит, продольные волны не создают пьезоэффекта.



Дифракция света с перебросом поляризации на продольном звуке. Волновой вектор света перпендикулярен плоскости рисунка. Стрелками указаны дифракционные кривые. *a* – свет поляризован перпендикулярно оси вращения [010]. *б* – свет поляризован вдоль оси вращения [010]. *в* – свет поляризован вдоль оси вращения [110].

Объяснить наличие дифракционных картин можно на основе развитой авторами теории Нельсона–Лэкса с учетом пространственной дисперсии<sup>2,3</sup>. Пространственная дисперсия ответственна за появление ненулевых компонент тензорных функций с перечисленными индексами. Учет пространственной дисперсии и колебаний центра масс элементарных объемов при-

водит к появлению новых добавок к упругооптическому тензору. Эти добавки связаны с прямыми и непрямыми АО эффектами. Непрямые эффекты, заключающиеся в последовательном действии пьезоэлектрического эффекта и эффекта электротиграции, а также пьезоэлектрического эффекта и электрооптического эффекта в неоднородном поле, не могут иметь здесь место ввиду того, что для их проявления необходимо наличие пьезоэффекта.

Из анализа расчетов<sup>3</sup> видно, что ненулевые компоненты тензорных функций для данной геометрии обеспечиваются за счет двух мнимых добавок к тензору фотоупругости. Одна из этих добавок описывает вклад в АО взаимодействие непрямого флексоэлектрооптического эффекта, заключающегося в последовательном действии флексоэлектрического эффекта и электрооптического эффекта. Эта тензорная функция, входящая в виде добавки к тензору фотоупругости в выражении, описывающем нелинейную поляризацию при АО взаимодействии<sup>3</sup>, имеет вид

$$id_{ijr} a_p a_q g_{sklm} k_m^A / (a_p k_{pq} a_q).$$

В нашей геометрии, в частности, есть компонента тензора флексоэлектрического  $g_{1111}$  и компонента электрооптического тензора  $d_{321}$ . Акустический волновой вектор имеет компоненту  $k_1^A$ , а значит и единичный вектор  $\mathbf{a} = \mathbf{k}^A / |\mathbf{k}^A|$  имеет компоненту  $a_1$ . В итоге имеем компоненту тензорной функции  $i\tilde{P}_{3211}$ . Аналогично проявляются и другие компоненты.

Вторая добавка обусловлена прямым АО эффектом, связанным с тем, что учитывается неоднородность взаимодействующих волн в среде со слабой нелокальностью. Параметром неоднородности служат их волновые вектора. В частном случае это означает, что одна из взаимодействующих волн вращает свой вектор поляризации, а вторая "чувствует" эту гирацию. Обе добавки имеют место только для нецентросимметрических кристаллов.

При распространении света вдоль оси четвертого порядка мы не видим этого взаимодействия, т.к. дифрагированные с перебросом поляризации оптические волны попадают в почти те же точки, что и волны дифрагированные без переброса поляризации. И расщепление дифракционных линий не различимо.

На рис. в представлена ШБ-картина для второго кристалла с ориентированными плоскостями (110) (110) (001). Поляризация падающего света вертикальная в плоскости рисунка. Кристалл вращали вокруг оси [110] также вертикальной в плоскости рисунка. Угол поворота составлял  $11,7^\circ$ . При этом реализуются оба случая, показанные на рис. а и б. Это приводит к появлению двойных кривых дифракции за счет новых составляющих волнового вектора света.

Дифракционные картины исчезают при дальнейшем вращении кристалла во всех трех случаях. Это объясняется тем, что для дифракции с перебросом поляризации величина акустического волнового вектора на используемой частоте становится недостаточной.

#### Литература

1. Nelson D.F., Lax M. Phys. Rev. B, 1971, 3, 2778.
2. Савченко В.В. и др. Тез. докл. I Всесоюзной конференции по оптической обработке информации. Ленинград, 1988, 30 мая – 1 июня, ч. 1, стр. 138.
3. Савченко В.В. Деп. ВИНИТИ № 6576-В87, Днепропетровск, 1987.